

نشریه شیلات، مجله منابع طبیعی ایران
دوره ۶۷، شماره ۲، تابستان ۱۳۹۳

تاریخ دریافت: ۱۳۹۰/۸/۲۸

تاریخ پذیرش: ۱۳۹۱/۷/۱۷

ص ۱۷۷-۱۹۰

تخلیص ویتلوژنین فیل ماهی (*Huso huso*) با استفاده از روش ترکیبی رسوبدهی انتخابی (EDTA-Mg^{2+}) و استخراج از ژل

- ❖ مهدی پاک‌طینت: فارغ‌التحصیل کارشناسی ارشد شیلات، دانشکده منابع طبیعی، دانشگاه تهران، ایران
- ❖ باقر مجازی امیری: استاد گروه شیلات، دانشکده منابع طبیعی، دانشگاه تهران، ایران
- ❖ حمید فرحمنند: دانشیار گروه شیلات، دانشکده منابع طبیعی، دانشگاه تهران، ایران
- ❖ مهوش خدابنده*: استادیار گروه صنعت و محیط زیست، پژوهشگاه ملی مهندسی ژنتیک و زیست فناوری، ایران

چکیده

ویتلوژنین یک گلیکو فسفو لیپو پروتئین پیش‌ساز پروتئین‌های زرده است که نقش اصلی را در مرحله زرده‌سازی بر عهده دارد. سطوح این پروتئین در ماهیان نابالغ و جنسیت نر به‌منزله شاخص مواجهه ماهی با ترکیبات اخلاص‌گر سیستم درون‌ریز استفاده می‌شود. هدف از این مطالعه شناسایی و تخلیص ویتلوژنین فیل ماهی (*Huso huso*) با استفاده از روش رسوبدهی انتخابی و استخراج از ژل است. در مطالعه حاضر، نمونه‌های پلاسما مورد نیاز از فیل ماهیان ماده در مرحله زرده‌سازی تهیه و ویتلوژنین با استفاده از ویژگی‌های خاص این پروتئین (محدوده وزن مولکولی، اختصاصی بودن برای جنسیت ماده، قابلیت القا از طریق استروژن‌ها، رسوب این پروتئین در حضور EDTA، همچنین واکنش اختصاصی با آنتی‌بادی ویتلوژنین فیل ماهی) شناسایی شد. ویتلوژنین فیل ماهی با استفاده از روش‌های رسوبدهی انتخابی ویتلوژنین (EDTA-Mg^{2+}) و استخراج از ژل preparative با درصد خلوص بالا تخلیص شد. نتایج فرایند تخلیص این پروتئین را در شرایط احیایی به صورت یک باند منفرد و با وزن مولکولی حدود ۲۰۰ KDa نشان داد. بر اساس نتایج، روش ترکیبی رسوبدهی انتخابی ویتلوژنین و استخراج از ژل preparative کارایی بسیار مناسبی در شناسایی و تخلیص ویتلوژنین فیل ماهی دارد.

واژگان کلیدی: استخراج از ژل، تخلیص، رسوبدهی انتخابی، زرده‌سازی، فیل ماهی، ویتلوژنین.

۱. مقدمه

در کنار اهمیت درخور توجه ویتلوژنین در تأمین منابع غذایی و انرژی لازم برای تکامل جنین، این پروتئین از جنبه‌های دیگر نیز دارای اهمیت شایان توجهی است. ژن ویتلوژنین در هر دو جنسیت نر و ماده موجودات تخم‌گذار وجود دارد، اما در شرایط طبیعی این پروتئین تنها در جنسیت ماده ساخته می‌شود که دارای سطوح بالایی از هورمون‌های استروژنی از جمله ۱۷ بتا- استرادیول است. اختصاصی بودن ویتلوژنین برای جنسیت ماده و حساسیت بالای ژن‌های بیان‌کننده این پروتئین به استروژن‌ها سبب می‌شود بررسی سطوح ویتلوژنین در جنسیت نر و ماهیان نابالغ به صورت گسترده به منزله نشانگری زیستی برای مطالعه آلاینده‌های اخلاص‌گر سیستم درون‌ریز استفاده شود (Matozzo et al., 2008).

علاوه بر این، ویتلوژنین در سامانه ایمنی غیر اختصاصی بسیاری از موجودات نقش‌هایی را در برابر عوامل باکتریایی، ویروسی، و قارچی ایفا می‌کند (Zhang et al., 2010). برای مثال، در رزی بارب (*Puntius conchoniis*) و کپور معمولی (*Cyprinus carpio*) فعالیت ضد میکروبی این پروتئین به اثبات رسیده است (Shi et al., 2006; Liu et al., 2009). با این حال، پیچیدگی و اهمیت این پروتئین به اندازه‌ای است که عملکرد آن به این موارد نیز محدود نمی‌شود و برای این پروتئین نقش‌های دیگری نیز در سایر موجودات مشخص شده است. برای مثال، نقش این پروتئین در سازمان‌دهی اجتماعی، تنظیم پویایی‌شناسی هورمونی، و تغییر در پاسخ‌دهی حس چشایی در زنبور عسل به اثبات رسیده است (Amdam et al., 2003; Amdam et al., 2006; Guidugli et al., 2005; Nelson et al., 2007). در نماتودها (*Caenorhabditis elegans*)

فیل ماهی (*Huso huso*) از گونه‌های بسیار باارزش کشور و حتی دنیا به شمار می‌آید و از لحاظ اقتصادی، زیست‌محیطی، و تکاملی دارای اهمیت درخور توجهی است. اهلی شدن سریع و آسان، پذیرش زندگی در اسارت، سازگاری بسیار خوب به غذاهای مصنوعی، و رشد سریع سبب شده است تا این گونه گزینه بسیار مناسبی برای آبی‌پروری محسوب شود، اما خصوصیات اکوفیزیولوژیک منحصر به فرد این گونه سبب شده است مشکلاتی در مسیر رسیدگی جنسی و تکامل گنادی این ماهی بروز کند، که واقع نشدن یا تکمیل نشدن مرحله زرده‌سازی مهم‌ترین و بارزترین ناهنجاری تولیدمثلی این گونه به شمار می‌رود (Mylonas and Zohar, 2007). بروز این ناهنجاری یکی از مهم‌ترین عوامل محدودکننده توسعه تکثیر و پرورش مصنوعی این گونه است.

مرحله زرده‌سازی طولانی‌ترین مرحله رشد تخمدانی فیل ماهی است که وابستگی کامل به تولید و تجمع پروتئین ویتلوژنین دارد. در جانوران تخم‌گذار، تکامل جنین وابسته به وجود ذخایر غذایی تخم است که طی مرحله زرده‌سازی و به صورت عمده با تجمع پروتئین پلازما به نام ویتلوژنین اتفاق می‌افتد. ویتلوژنین یک گلیکو فسفو لیپو پروتئین است که تحت تأثیر استروئیدهای جنسی که اغلب ۱۷ بتا- استرادیول است در کبد تولید می‌شود (Tufail and Takeda, 2008). در سلول‌های کبدی، پلی‌پتید ویتلوژنین تحت فرایند فسفریلاسیون، گلیکوزیلاسیون، و لیپیداسیون قرار می‌گیرد و برای انتقال به تخمدان به درون خون ترشح می‌شود (Mommsen and Walsh, 1988).

(EDTA-Mg²⁺) و استخراج از ژل Preparative برای تخلیص ویتلوژنین طراحی و اجرا شد.

۲. مواد و روش‌ها

۱.۲. تهیه نمونه‌های پلاسما مورد نیاز

نمونه‌های پلاسما مورد نیاز از فیل ماهیان پرورشی مرکز تکثیر و پرورش ماهیان خاویاری شهید رجایی ساری تهیه شد. به منظور نمونه‌گیری از ماهیان ماده، نخست مرحله تولیدمثلی و وضعیت تکامل گنادی ماهی بر اساس بیوپسی انجام‌گرفته در مزرعه بررسی شد سپس، از مولدین ماده‌ای که در مرحله زرده‌سازی بودند خون‌گیری انجام شد. از پلاسما فیل ماهیان نر وحشی موجود در مزرعه نیز به‌منزله نمونه کنترل استفاده شد. علاوه بر این، چهار فیل ماهی نر نابالغ با ۵ mg/kg هورمون ۱۷ بتا- استرادیول به صورت محلول در اتانول و روغن کرچک در یک نوبت تزریق شدند و پس از هفت روز از این ماهیان خون‌گیری شد تا از نمونه‌های به‌دست‌آمده در شناسایی ویتلوژنین استفاده شود. خون‌گیری از محل پشت باله مخرجی و از سرخرگ دمی انجام شد و نمونه‌های به‌دست‌آمده در لوله‌های حاوی هیپارین نگهداری شدند. نمونه‌ها در دمای ۴ درجه سانتی‌گراد برای به‌دست‌آوردن پلاسما سانتریفیوژ شدند و پس از اضافه کردن آنتی پروتئاز آپروتینین (۰/۲ TIU/ml) به آنها با نگهداری در دمای ۴ °C ≤ به آزمایشگاه منتقل شدند و پس از تقسیم نمونه‌های به‌دست‌آمده به حجم‌های ۰/۵ میلی‌لیتری تا زمان انجام آزمایش در فریزر ۷۰- درجه سانتی‌گراد نگهداری شدند.

۲.۲. شناسایی ویتلوژنین فیل ماهی

شناسایی ویتلوژنین از میان پروتئین‌های پلاسما با

نیز عملکرد آنتی‌اکسیدانی ویتلوژنین تأیید شده است (Nakamura et al., 1999).

همه موارد ذکر شده نشان‌دهنده اهمیت درخور توجه این پروتئین در بسیاری از سامانه‌های زیستی فیل ماهی و سایر موجودات تخم‌گذار است و این پروتئین در تحقیقات زیستی بسیاری شناسایی و مطالعه شده است. به همین دلیل دسترسی به روش‌های بهینه‌سازی شده تخلیص ویتلوژنین در موجودات گوناگون، که از بنیادی‌ترین و ضروری‌ترین بخش‌های تحقیقاتی مورد نیاز به حساب می‌آید، در اولویت برنامه‌های تحقیقاتی مرتبط با این پروتئین قرار دارد.

چندین شیوه تخلیص بر پایه خواص فیزیکوشیمیایی این پروتئین خاص برای جداسازی ویتلوژنین طراحی شده است. اولتراسانتریفیوژ (Redshaw and Follett, 1971)، کروماتوگرافی تعویض یونی (Norberg and Haux, 1985)، و ژل فیلتراسیون (Specker and Sullivan, 1994) از روش‌های رایج مورد استفاده در تخلیص ویتلوژنین‌اند. با وجود کارایی این روش‌ها در جداسازی ویتلوژنین گونه‌های مختلف، این روش‌ها بسیار پرهزینه و وقت‌گیرند و تخلیص سطوح پایین ویتلوژنین با استفاده از این روش‌ها به‌سادگی امکان‌پذیر نیست. علاوه بر این، تنوع بالا در تغییرات پس از ترجمه این پروتئین، همچون فسفریلاسیون و لیپیداسیون، در بعضی از گونه‌ها منجر به رفتار غیر طبیعی این پروتئین در ستون‌های کروماتوگرافی خواهد شد. به همین دلیل دسترسی به یک روش تخلیص کارآمد، ساده و کم‌هزینه برای تخلیص ویتلوژنین ضروری است. به همین منظور، این تحقیق با هدف بررسی کارایی روش ترکیبی رسوب‌دهی انتخابی

ساعت روی غشا تیمار شدند. در نهایت پس از این مراحل غشا سه مرتبه با بافر شست و شو شسته شد و واکنش آنتی-ژن-آنتی-بادی با افزودن سوبسترا (4-Chloro-1-naphthol 0.03%) و ۱۵ میکرولیتر آب اکسیژنه ۳۵ درصد بررسی شد.

۴.۲. استفاده از روش ترکیبی رسوب‌دهی انتخابی

EDTA-Mg²⁺ و Gel Preparative برای

تخلیص ویتلوژنین

به منظور رسوب‌دهی ویتلوژنین موجود در نمونه‌های پلاسما، مقدار ۰/۵ میلی‌لیتر پلاسما با EDTA 20 mM pH 7.7 ۲ میلی‌لیتر به آرامی مخلوط و با اضافه کردن ۰/۱ میلی‌لیتر محلول MgCl₂ 0.5 M رسوب ویتلوژنین آغاز شد. این محلول پس از چند دقیقه ساکن ماندن برای ۲۰ دقیقه در ۵۰۰۰ rpm و دمای ۴ درجه سانتی‌گراد سانتریفیوژ شد و رسوب ویتلوژنین از مایع روی آن کاملاً جدا شد. در ادامه رسوب حاوی ویتلوژنین در محلول NaCl 1 M, Tris-Cl 50 mM pH 7.7 به آرامی حل شد. در مرحله بعد به منظور جدا کردن اجزای نامحلول نمونه به دست آمده به مدت ۳۰ دقیقه در ۱۳۰۰۰ rpm و دمای ۴ درجه سانتی‌گراد سانتریفیوژ شد. نمونه به دست آمده از این مرحله حاوی ویتلوژنین و آلبومین بود که در ادامه برای جداسازی ویتلوژنین از آلبومین از الکتروفورز نمونه به دست آمده در ژل Preparative استفاده شد. در این روش، پس از منتقل کردن قالب حاوی ژل به تانک الکتروفورز مقدار ۱ میلی‌لیتر نمونه به دست آمده از مرحله رسوب‌دهی انتخابی ویتلوژنین (EDTA-Mg²⁺)، پس از حل شدن در ۱۲۵ میکرولیتر حلال نمونه (6X) و جوشاندن، در محل نمونه،

الکتروفورز نمونه‌ها در حضور SDS بر اساس روش Laemmli (1970) انجام شد. پس از پایان الکتروفورز، پروتئین‌های پلاسما با رنگ‌آمیزی از طریق کوماسی آبی (G250) رؤیت پذیر شدند و باندها با نشانگرهای وزن مولکولی مقایسه شدند. در این قسمت ویتلوژنین با در نظر گرفتن محدوده وزن مولکولی (۱۶۰ تا ۲۰۰ kDa) (Denslow *et al.*, 1999)، اختصاصی بودن برای جنسیت ماده (Hiramatsu *et al.*, 2006)، قابلیت القا با استروژن‌ها (Hiramatsu *et al.*, 2002a)، رسوب کردن از طریق EDTA-Mg²⁺ (Wiley *et al.*, 1979)، و واکنش اختصاصی باند شناسایی شده با آنتی‌بادی ویتلوژنین فیل ماهی شناسایی شد.

۳.۲. وسترن بلات

به منظور بررسی واکنش اختصاصی پروتئین شناسایی شده به منزله ویتلوژنین با آنتی‌بادی اختصاصی این پروتئین از آزمون وسترن بلات بر اساس روش Dunbar (1994) استفاده شد. نخست، باندهای پروتئینی با الکتروفورز نمونه‌ها از هم تفکیک شدند سپس، انتقال باندهای پروتئینی از ژل به غشای PVDF در شدت جریان ثابت ۸۶ میلی‌آمپر به مدت یک شب صورت گرفت. پس از انتقال پروتئین‌ها به غشا، جایگاه‌های اتصال پروتئین غشا با استفاده از محلول ۳ درصد BSA در بافر شست و شو به مدت ۲ ساعت مسدود شد. در ادامه آنتی‌بادی پلی‌کلونال ویتلوژنین فیل ماهی (Rabbit anti beluga vitellogenin) به نسبت ۱:۲۰۰۰ در آلبومین سرم گاوی ۱/۵ درصد به مدت ۲ ساعت و آنتی‌بادی ثانویه (HRP-labelled secondary antibody) به نسبت ۱:۲۰۰۰ در بافر شست و شو نیز به مدت ۲

بسیار بالا (۲۰۰ kDa) است. اختصاصی بودن این پروتئین برای جنسیت ماده از دیگر خصوصیات ویتلوژنین بود که بر اساس شکل ۱. الف پروتئین مورد نظر تنها در نمونه‌های پلاسمای جنسیت ماده وجود دارد. نتایج روش رسوبدهی انتخابی ویتلوژنین (EDTA-Mg²⁺) نیز اختصاص باندا مورد نظر به ویتلوژنین فیل ماهی را اثبات می‌کند (شکل ۱ الف).

نتایج بررسی قابلیت القای این پروتئین با استروژن‌ها نیز در شکل ۱. ب ارائه شده است که نشان‌دهنده توانایی استروژن‌ها در تحریک ساخت این پروتئین است. در نهایت بررسی واکنش اختصاصی باندا شناسایی شده به منزله ویتلوژنین با آنتی‌بادی این پروتئین صحت این روش را تأیید کرد (شکل ۲).

۲.۳. وسترن بلات

در آزمون وسترن بلات که به منظور بررسی فعالیت اختصاصی آنتی‌بادی ویتلوژنین فیل ماهی با پروتئین تخلیص شده انجام گرفت نتیجه مطلوبی کسب شد. با توجه به شکل ۲، آنتی‌بادی اختصاصی ویتلوژنین فیل ماهی با پروتئین تخلیص شده واکنش درخور توجهی نشان داد و هیچ واکنش غیر اختصاصی بین آنتی‌بادی و دیگر پروتئین‌های پلازما همچون، پروتئین‌های پلاسمای جنسیت نر مشاهده نشد. نتایج نشان‌دهنده شناسایی صحیح ویتلوژنین و کارایی روش‌های شناسایی به‌کار گرفته شده است. از دیگر نتایج وسترن بلات کارایی بسیار مناسب روش رسوبدهی انتخابی در شناسایی ویتلوژنین و افزایش غلظت آن در نمونه‌هاست.

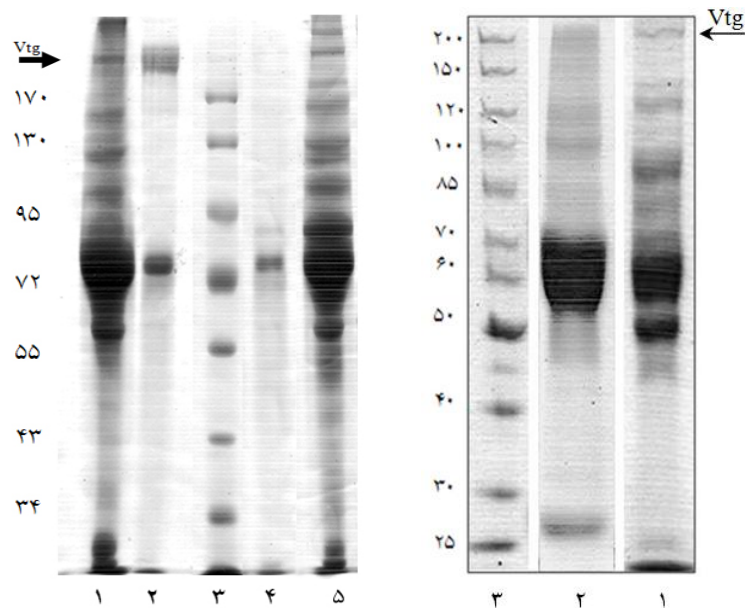
بارگذاری شد. علاوه بر نمونه اصلی، از نشانگر وزن مولکولی نیز برای ردیابی ویتلوژنین استفاده شد. پس از پایان الکتروفورز در ولتاژ ۱۲۰ ولت، باندا مربوط به ویتلوژنین ردیابی شد و با مشخص شدن مکان باندا مربوط به ویتلوژنین این باندا به همراه باندهای مجاور جدا شدند. سپس نوارهای جدا شده حاوی باندهای مورد نظر به صورت جداگانه در ۳ میلی‌لیتر بافر تریس (50 mM Tris-Base, pH: 8) به صورت کامل از طریق هموژنایزر دستی له شد. در ادامه محلول‌های تهیه شده از هر نوار، درون فالكون‌های ۱۵ میلی‌لیتری ریخته شدند و به مدت یک شب روی دستگاه شیکر قرار گرفتند. روز بعد محتویات هر فالكون به مدت ۱۰ دقیقه در ۵۰۰۰ rpm و دمای ۴ درجه سانتی‌گراد سانتریفیوژ شدند و پس از جداسدن مایع رویی، به منظور بررسی میزان خلوص و غلظت ویتلوژنین در هر یک از نمونه‌ها، از روش الکتروفورز در حضور SDS استفاده شد.

۳. نتایج

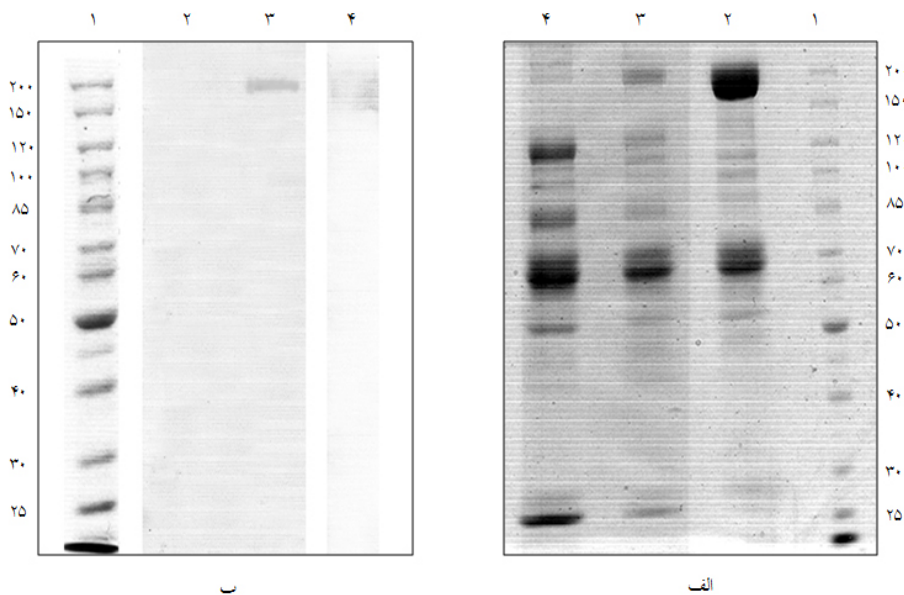
۱.۳. الکتروفورز نمونه‌های پلازما و

شناسایی ویتلوژنین

الکتروفورز نمونه‌های پلازما به منظور شناسایی و بررسی حضور ویتلوژنین در نمونه‌های پلازما صورت گرفت. نتایج الکتروفورز نمونه‌ها باندا را در محدوده وزنی ۲۰۰ kDa (محدوده وزن مولکولی مونومرهای ویتلوژنین) در نمونه‌های پلاسمای جنسیت ماده نشان داد که بر اساس خصوصیات ویتلوژنین به منزله ویتلوژنین فیل ماهی شناسایی شد. بر اساس شکل ۱. الف این باندا تحرک کمی در شرایط الکتروفورز دارد و وزن مولکولی آن در حالت احیایی



شکل ۱. الف) ژل SDS-PAGE 7.5% نمونه‌های حاصل از رسوب‌دهی انتخابی ویتلوژنین؛ ۱- نمونه پلاسما ماده قبل از رسوب‌دهی؛ ۲- نمونه رسوب‌داده شده پلاسما ماده؛ ۳- نشانگر وزن مولکولی (kDa)؛ ۴- نمونه رسوب‌داده شده پلاسما نر؛ ۵- نمونه پلاسما نر قبل از رسوب‌دهی. ب) ژل SDS-PAGE 7.5% نمونه‌های پلاسما فیلماهی در پاسخ به تزریق ۱۷ بتا-استرادیول؛ ۱- نشانگر وزن مولکولی (kDa)؛ ۲- نمونه پلاسما قبل از تزریق ۱۷ بتا-استرادیول؛ ۳- نمونه پلاسما بعد از تزریق ۱۷ بتا-استرادیول.



شکل ۲. نتایج واکنش اختصاصی ویتلوژنین تخلیص شده با آنتی‌بادی ویتلوژنین فیلماهی در وسترن بلات. الف) الکتروفورز نمونه‌های پلاسما فیلماهی؛ ۱- نشانگر وزن مولکولی؛ ۲- نمونه رسوب‌داده شده ویتلوژنین فیلماهی؛ ۳- نمونه پلاسما فیلماهی ماده؛ ۴- نمونه پلاسما فیلماهی نر. ب) وسترن بلات حاصل از واکنش آنتی‌بادی با پلاسما فیلماهی در مرحله زرده‌سازی؛ ۱- نشانگر وزن مولکولی؛ ۲- نمونه پلاسما جنسیت نر؛ ۳- نمونه پلاسما جنسیت ماده؛ ۴- نمونه رسوب‌داده شده ویتلوژنین.

۳.۳. جداسازی ویتلوژنین از طریق رسوبدهی انتخابی ویتلوژنین با کاتیونهای دو ظرفیتی (EDTA-Mg²⁺)

در مرحله نخست تخلیص ویتلوژنین، از روش رسوبدهی انتخابی ویتلوژنین به منظور افزایش سطح ویتلوژنین در نمونه‌ها و تخلیص نسبی استفاده شد. بر اساس شکل ۱ الف این مرحله نسبت به ویتلوژنین فیل ماهی به صورت تقریباً اختصاصی عمل می‌کند و تنها حضور مقادیری آلبومین در کنار ویتلوژنین مشاهده شدنی است. آلبومین موجود در نمونه‌های به دست آمده در مرحله بعد و با استفاده از روش استخراج پروتئین از ژل Preparative از ویتلوژنین جدا خواهد شد.

کارایی روش رسوبدهی انتخابی در افزایش سطح ویتلوژنین در نمونه‌ها با استفاده از تصویر حاصل از الکتروفورز نمونه‌های حاصل از رسوبدهی (شکل ۱ الف) و با نرم‌افزار AlphaEase FC version 6.0.0 ارزیابی شد که نتایج آن در جدول ۱ مشاهده می‌شود. بر اساس نتایج، استفاده از این روش سطح ویتلوژنین در نمونه اولیه را از ۵/۵ درصد به ۴۰/۵ درصد از پروتئین‌های نمونه افزایش داده است. این روش منجر به افزایش ۷/۳۶ برابری سطح ویتلوژنین در نمونه اولیه شد که تخلیص نهایی این پروتئین را ساده‌تر خواهد کرد.

جدول ۱. بررسی کارایی روش رسوبدهی انتخابی ویتلوژنین در افزایش سطح ویتلوژنین در نمونه‌ها. لاین یک مربوط به آنالیز نمونه‌ها پیش از رسوبدهی و لاین دو مربوط به بعد از رسوبدهی است. داده‌های مرتبط به ویتلوژنین با نقطه چین مشخص شده است.

Lane: 1									
Lane	Peak	Dist	Width	Height	Area	%	Rf	Adj. Rf	Calc. M
1	1	21	22	132	2101	17.7	0.0360	0.0360	N/A
1	2	56	12	71	652	5.5	0.0959	0.0959	199.23
1	3	79	8	20	106	.9	0.1353	0.1353	181.54
1	4	110	15	55	604	5.1	0.1884	0.1884	155.78
1	5	133	11	27	253	2.1	0.2277	0.2277	135.33
1	6	147	12	50	533	4.5	0.2517	0.2517	125.88
1	7	171	10	6	44	.4	0.2928	0.2928	113.53
1	8	191	14	41	373	3.2	0.3271	0.3271	103.24
1	9	209	12	23	208	1.8	0.3579	0.3579	94.28
1	10	222	13	39	401	3.4	0.3801	0.3801	89.61
1	11	258	9	48	358	3.0	0.4418	0.4418	76.67
1	12	323	10	41	264	2.2	0.5531	0.5531	58.40
1	13	343	9	5	26	.2	0.5873	0.5873	54.01
1	14	387	11	60	560	4.7	0.6627	0.6627	47.80
1	15	438	12	32	369	3.1	0.7500	0.7500	40.99
1	16	449	10	43	385	3.3	0.7688	0.7688	39.68
1	17	468	18	67	1114	9.4	0.8014	0.8014	37.43
1	18	525	9	128	1075	9.1	0.8990	0.8990	N/A
1	19	530	8	120	884	7.5	0.9075	0.9075	N/A
1	20	542	18	95	1528	12.9	0.9281	0.9281	N/A

Lane: 2									
Lane	Peak	Dist	Width	Height	Area	%	Rf	Adj. Rf	Calc. M
2	1	56	11	110	1033	40.4	0.0959	0.0959	199.23
2	2	257	10	162	1522	59.6	0.4401	0.4401	77.03

از دلایل ارائه چنین ادعایی روش به کار گرفته شده در قسمت استخراج از ژل Preparative است، زیرا در این قسمت تنها باند موجود در محدوده ۲۰۰ kDa از ژل جدا شد و امکان وجود ناخالصی‌هایی در محدوده وزنی ۱۳۰ و ۱۰۰ kDa در پروتئین‌های استخراج شده بعید است.

۴. بحث و نتیجه‌گیری

در این مطالعه که با هدف بررسی کارایی روش ترکیبی رسوب‌دهی انتخابی و استخراج از ژل Preparative در تخلیص ویتلوژنین فیل ماهی انجام گرفت، ویتلوژنین فیل ماهی با خلوص بالا و کارایی قابل قبول تخلیص شد.

استفاده از روش‌هایی چون کروماتوگرافی تعویض آنیونی و ژل فیلتراسیون، به‌رغم کارایی که می‌تواند در تخلیص این پروتئین داشته باشد، بسیار پرهزینه است و دشواری‌های متعددی دارد. به همین دلیل، روش‌های دیگری نیز با توجه به خصوصیات ویژه ویتلوژنین به منظور جداسازی و تخلیص این پروتئین ارائه شده است. این روش که برای اولین بار به منظور تخلیص ویتلوژنین استفاده شد معایب روش‌های کروماتوگرافی را نداشت و کارایی قابل قبولی در تخلیص ویتلوژنین نشان داد.

۱.۴. بررسی نتایج الگوی پروتئینی نمونه‌های

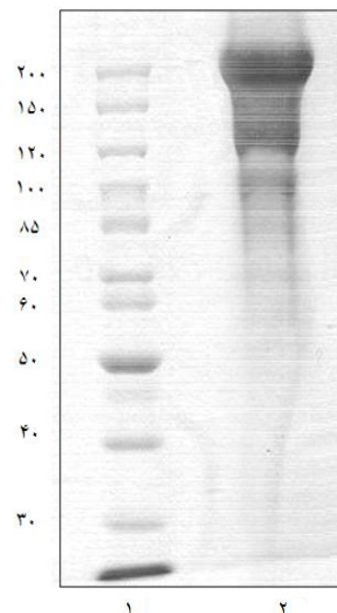
پلازما

به منظور بررسی الگوی پروتئینی نمونه‌ها با توجه به سطح پایین ویتلوژنین موجود در نمونه‌ها، سطح بالای چربی در نمونه‌های پلازما، و دسترسی نداشتن به سیستم‌های الکتروفورز دارای شیب غلظت

۴.۳. استفاده از روش Gel preparative

برای تخلیص نهایی ویتلوژنین فیل ماهی

پس از تخلیص اولیه ویتلوژنین با استفاده از روش رسوب‌دهی انتخابی ویتلوژنین، نمونه‌های حاصل به منظور تخلیص نهایی روی ژل Preparative الکتروفورز شدند. پس از پایان الکتروفورز، باند مربوط به ویتلوژنین مطابق روش ارائه شده تحت فرایند استخراج پروتئین قرار گرفت که نتایج الکتروفورز نمونه‌های به دست آمده از این مرحله در شکل ۳ مشاهده می‌شود. با توجه به شکل ۳ مشخص است که این روش توانایی کاملاً مناسبی در تخلیص ویتلوژنین دارد. حضور باندهایی در مجاورت باند مربوط به ویتلوژنین در شکل ۳ به احتمال قریب به یقین پپتیدهای حاصل از تجزیه ویتلوژنین طی دو مرحله الکتروفورز در حضور عوامل احیاکننده است.



شکل ۳. ژل SDS-PAGE 7.5% نمونه‌های تخلیص شده با استفاده از روش ترکیبی رسوب‌دهی انتخابی و استخراج از ژل preparative. ۱- نشانگر وزن مولکولی (kDa)؛ ۲- نمونه ویتلوژنین تخلیص شده.

(al., 1999). به همین منظور، مقایسه نمونه‌های به‌دست‌آمده از فیل ماهی نر وحشی با نمونه‌های به‌دست‌آمده از فیل ماهیان ماده در مرحله زرده‌سازی حضور باندی را در نمونه‌های فیل ماهی ماده نشان داد که در نمونه شاهد (نر) وجود نداشت. این موضوع داد. ۳- ویتلوژنین از پروتئین‌های القاشدنی با استروژن‌هاست (Tolar et al., 2001). بر همین اساس، تعداد چهار عدد فیل ماهی نر نابالغ تحت تزریق ۱۷بتا- استرادیول قرار گرفتند و این تزریق منجر به تولید دو پروتئین مختلف و تغییراتی در سطوح دیگر پروتئین‌های پلازما شد. یکی از پروتئین‌های القاشده با وزن مولکولی ۲۰۰ kDa (درست مطابق با وزن مولکولی باند مربوط به ویتلوژنین) و دیگری با وزن مولکولی حدود ۶۰ kDa (احتمالاً کوریوژنین) بود (شکل ۱. ب). بر این اساس، بار دیگر اختصاص این باند به ویتلوژنین، به دلیل قابلیت القا از طریق استروژن‌ها، تأیید شد. ۴- ویتلوژنین پروتئینی منحصر به فرد و دارای خصوصیات ویژه‌ای در مقایسه با دیگر پروتئین‌هاست. یکی از این خصوصیات ویژه اتصال مقادیر درخور توجهی یون کلسیم به این پروتئین است. این موضوع سبب شده است تا امکان رسوب‌دهی انتخابی این پروتئین با استفاده از عواملی همچون EDTA امکان‌پذیر شود (Hiramatsu et al., 2006). استفاده از این روش رسوب‌دهی انتخابی برای ویتلوژنین سبب رسوب‌یافتن ویتلوژنین می‌شود. به همین دلیل، به‌کارگیری این روش رسوب‌دهی برای نمونه‌های پلازما نر و ماده موجب مشخص شدن ویتلوژنین از سایر پروتئین‌ها خواهد

اکریلامید از رسوب‌دهی انتخابی ویتلوژنین پیش از الکتروفورز نمونه‌ها در حضور SDS استفاده شد. استفاده از این روش شناسایی ویتلوژنین و بررسی الگوی پروتئینی نمونه‌های پلازما را بسیار ساده‌تر کرد و، به دلیل حذف مقادیر درخور توجهی از پروتئین‌ها و عوامل مزاحم، نتیجه رضایت‌بخشی به دست آمد (شکل ۱. الف).

۲.۴. شناسایی ویتلوژنین در نمونه‌های پلازما

پس از تأیید کارایی روش رسوب‌دهی انتخابی در بررسی الگوی پروتئینی نمونه‌های پلازما مورد مطالعه، شناسایی باند ویتلوژنین در الگوهای پروتئینی به‌دست‌آمده با بررسی هم‌پوشانی چهار شیوه در تشخیص ویتلوژنین، و در نهایت بررسی واکنش اختصاصی باند شناسایی شده به‌منزله ویتلوژنین با آنتی‌بادی اختصاصی این پروتئین، انجام شد. ۱- محدوده وزن مولکولی ویتلوژنین در دامنه‌ای است که پروتئین‌های بسیار نادری در این محدوده قرار دارند. محدوده وزن مولکولی ۱۶۰ kDa تا ۲۰۰ kDa (Denslow et al., 1999)، با توجه به شباهت‌های ساختاری بین گونه‌ای زیادی که در این پروتئین وجود دارد، تکرارشدنی است. علاوه بر این، در صورتی که پروتئینی در این محدوده وزن مولکولی قرار گیرد هیچ‌گاه به سطوح پیش‌بینی‌پذیر برای ویتلوژنین نخواهد رسید. به همین دلیل از وزن مولکولی منحصر به فرد ویتلوژنین، به‌منزله یک عامل شناسایی مهم استفاده شد. ۲- ویتلوژنین پروتئینی مختص جنسیت ماده است که در شرایط طبیعی تنها در ماهیان ماده و در مرحله زرده‌سازی دیده می‌شود و در هیچ‌یک از مراحل زیست ماهیان نر دیده نمی‌شود (Denslow et

Zhang et al.,) ۲۰۵ kDa (*Acipenser schrenckii*)
(2011)، گربه‌ماهی دو تنفسه (*Clarias gariepinus*)
۲۰۰ kDa (Manohar et al., 2005)، ماهی قنات
سُرچرب (*Pimephales promelas*) ۱۵۶ kDa
(Parks et al., 1999)، برای ماهی بستر (*Huso*
huso × *Acipenser ruthenus*) به صورت دو باند
۱۸۰ kDa و ۱۲۰ kDa (Hiramatsu et al., 2002b)
و ۱۵۴ kDa برای قزل‌آلای رنگین‌کمان
(*Oncorhynchus mykiss*) گزارش شده است
(Watts et al., 2003).

۳.۴. بررسی نتایج تخلیص ویتلوژنین

ویتلوژنین از پروتئین‌های حساس به تجزیهٔ پروتئولیتیک است و این حساسیت حتی در حضور عوامل آنتی‌پروتئاز نیز تا حدودی دیده می‌شود (Denslow et al., 1999)، به همین دلیل، کاهش زمان تخلیص از مسائل اساسی در افزایش کارایی سیستم‌های تخلیص به حساب می‌آید. وجود چنین حساسیت‌هایی در کارکردن با ویتلوژنین سبب افزایش استفاده از روش‌های سریع و آسانی چون رسوب‌دهی انتخابی ویتلوژنین شده است.

به طور کلی عملکرد این روش بر پایهٔ رسوب ویتلوژنین از طریق Mg^{+2} در حضور EDTA است. در این جا نقش اصلی را گروه فسفات متصل به دامنهٔ فسویتین ویتلوژنین بر عهده دارد. بر اساس مشاهدات انجام‌گرفته، اندازهٔ دامنهٔ فسویتین و در نهایت میزان فسفریلاسیون و محتوای کلسیم ویتلوژنین در مهره‌داران تکامل‌یافته بیشتر از مهره‌داران اولیه است (Wahli, 1988)، همین موضوع باعث کارایی پایین این روش در تخلیص ویتلوژنین ماهیان می‌شود

شد. البته پروتئین آلبومین نیز از لحاظ اتصال به کلسیم دارای مشابهت ساختاری با ویتلوژنین بود و به همراه ویتلوژنین رسوب کرد. در این جا نیز اختلاف درخور توجهی که در وزن مولکولی این دو پروتئین وجود دارد (آلبومین با وزن مولکولی حدود ۷۰ kDa و ویتلوژنین با وزن مولکولی حدود ۲۰۰ kDa) به‌سادگی این دو پروتئین را از هم تفکیک کرد. این آزمایش نیز روی نمونه‌های پلاسما انجام شد و نتایج اختصاص باند در نظر گرفته‌شده را به ویتلوژنین تأیید کرد. نتایج این فرایند با مقایسهٔ نتایج نمونه‌های نر و ماده بیشتر تأیید شد (شکل ۱. الف).

در نهایت، استفاده از این چهار شیوه در تشخیص صحیح ویتلوژنین و هم‌پوشانی کامل نتایج و تطابق نتایج با نتایج وسترن بلات (شکل ۲) منجر به شناسایی ویتلوژنین در الگوهای پروتئینی به‌دست‌آمده شد. استفاده از این شاخص‌ها، که کارایی آنها در شناسایی صحیح ویتلوژنین در این مطالعه نیز به اثبات رسید، در مطالعات گوناگونی (Tolar et al., 2001; Nishi et al., 2002) برای شناسایی ویتلوژنین استفاده شده است.

باند ویتلوژنین شناسایی‌شده در شرایط احیایی دارای وزن مولکولی ۲۰۰ kDa بود که با استفاده از روش تطابق نقطه‌ای با نشانگرهای وزن مولکولی موجود در ژل تعیین شد. این وزن مولکولی با وزن مولکولی ویتلوژنین گونه‌های مشابه هم‌خوانی دارد. برای مثال، وزن مولکولی ویتلوژنین تاسماهی سفید (*Acipenser transmontanus*) در شرایط احیایی تعیین شد و دو پلی‌پپتید با وزن مولکولی ۱۹۰ kDa و ۲۱۰ kDa (Linares-Casenave et al., 2003). وزن مولکولی ویتلوژنین تاسماهی آمور

مرتبط با فیزیولوژی تولیدمثل و تکامل این ماهیان باز کند. در ماهی بستر (*Huso huso* × *Acipenser ruthenus*) نیز سطوح بالایی از اسید آمینه سرین گزارش شده که نشان‌دهنده بالابودن درخور توجه وزن مولکولی دامنه فسویتین و تأیید نظریه مطرح شده در بالاست (Hiramatsu et al., 2002b). با توجه به این مطالب، با وجود ناکارایی روش رسوب‌دهی انتخابی ویتلوژنین در جداسازی ویتلوژنین اکثر گونه‌های ماهیان استخوانی، این روش کارایی خوبی را در رسوب انتخابی ویتلوژنین فیل ماهی نشان داد. این پدیده می‌تواند به دلیل بزرگ‌تر بودن دامنه فسویتین در این گونه (مانند دیگر گونه‌های خاویاری) و مقادیر بالای فسفات این مولکول باشد. از روش رسوب‌دهی انتخابی در اکثر مطالعات به‌منزله اولین مرحله تخلیص ویتلوژنین استفاده شده است. برای مثال، ویتلوژنین چهار گونه ماهی استخوانی کاد (*Gadus morhua*)، توربست (*Scophthalmus maximus*)، ماهی گرگی (*Anarhichas htpus*)، و قزل‌آلای رنگین‌کمان ابتدا با روش رسوب‌دهی انتخابی تا حدی تخلیص شد و تخلیص نهایی با استفاده از کروماتوگرافی تعویض آنیونی انجام گرفت (Silversand and Haux, 1995). در مطالعه‌ای دیگر از روش رسوب‌دهی انتخابی به منظور تخلیص اولیه و از رزین تعویض آنیونی DEAE-Sephacel به منظور تخلیص نهایی ویتلوژنین قزل‌آلای رنگین‌کمان و قزل‌آلای دریایی (*Salmo trutta*) استفاده شده است (Norberg and Haux, 1985).

پس از افزایش سطح ویتلوژنین در نمونه‌ها، به منظور تخلیص نهایی ویتلوژنین از روش استخراج از ژل Preparative استفاده شد که با توجه به شکل ۳

(Specker and Sullivan, 1994; Magalhaes et al., 2004). علاوه بر این، وجود مقادیر اندک ویتلوژنین در سرم کارایی این روش را در تخلیص ویتلوژنین کمتر می‌کند و این روش در شرایطی که سطوح درخور توجهی از ویتلوژنین در سرم وجود دارد برای تخلیص ویتلوژنین مناسب است (Norberg and Haux, 1985). حضور سطوح شایان توجه گروه‌های فسفات در ویتلوژنین بعضی از گونه‌ها، همچون ماهیان خاویاری، استفاده از روش رسوب‌دهی انتخابی را برای تخلیص اولیه و افزایش سطح ویتلوژنین در نمونه‌ها امکان‌پذیر کرده است. تئوری کوچک‌بودن دامنه فسویتین ویتلوژنین مهره‌داران پست درباره ماهیان خاویاری نقض شده است. اندازه دامنه فسویتین در ویتلوژنین تاسماهی سفید (*Acipenser transmontanus*) ۱۸/۳ kDa و وزن مولکولی ویتلوژنین ۱۸۵/۴ kDa برآورد شده است (Finn, 2007). این اندازه برای دامنه فسویتین در ماهی کپور معمولی (*Cyprinus carpio*) ۶/۲ kDa (وزن مولکولی ویتلوژنین این گونه ۱۴۶/۹ kDa) برآورد شد که بر اساس روند تکاملی مطرح شده برای دامنه فسویتین درخور تأمل است. این موضوع وقتی توجه بیشتری را به خود جلب خواهد کرد که دامنه فسویتین در گونه‌ای پیشرفته‌تر بررسی شود. اندازه دامنه فسویتین برای ماهی شانک قرمز (*Pagrus major*) ۱۴ kDa و وزن مولکولی ویتلوژنین این گونه ۱۸۵/۳ kDa برآورد شده است (Finn, 2007). کاملاً واضح است که ماهیان خاویاری با وجود جایگاه پایینی که در روند تکامل دارند دامنه فسویتین بسیار بزرگی (حتی بزرگ‌تر از سوف‌ماهیان) دارند. این موضوع می‌تواند دریچه‌ای جدید را برای تحقیقات

پلاسمای منجمد شده انجام می‌گیرد، استفاده از آنتی‌بادی تهیه شده علیه زیر واحدهای ویتلوژنین می‌تواند دسترسی به اپیتوپ‌ها را به حداکثر برساند (Watts et al., 2003).

در مطالعه‌ای که به منظور تهیه آنتی‌بادی اختصاصی برای ویتلوژنین سه گونه قزل‌آلای رنگین‌کمان (*Oncorhynchus mykiss*)، ماهی آزاد اطلس (*Salmo salar*)، و کفشک پشت‌سبز (*Rhombosolea tapirina*) انجام گرفت، آنتی‌بادی پلی‌کلونال برای ویتلوژنین این سه گونه از طریق ژل فیلتراسیون و استخراج از ژل preparative با موفقیت و بدون واکنش غیر اختصاصی تهیه شد (Watts et al., 2003). نتایج چنین مطالعاتی تأییدکننده کارایی قابل قبول این روش در تخلیص ویتلوژنین خصوصاً به منظور تولید آنتی‌بادی است.

کارایی در خور توجهی در تخلیص ویتلوژنین فیل ماهی نشان داد. استفاده از روش استخراج از ژل Preparative معایب و مزایایی دارد. از معایب این روش از بین رفتن شکل طبیعی و فعالیت زیستی پروتئین همچنین وجود اگریلامید در پروتئین تخلیص شده است. از مزایای این روش می‌توان به سهولت انجام این روش تخلیص، کارایی آن برای تخلیص ویتلوژنین اغلب گونه‌ها، خلوص بسیار بالای ویتلوژنین تخلیص شده با این روش (Watts et al., 2003)، و دسترسی به پپتیدهای ویتلوژنین برای تولید آنتی‌بادی اشاره کرد. با توجه به این حقیقت که ویتلوژنین مولکولی حساس به تجزیه است و در شرایط نگه‌داری به پروتئین‌های کوچک‌تر تبدیل می‌شود، و بسیاری از تحقیقات روی نمونه‌های

References

- [1]. Amdam, G.V., Norberg, K., Hagen, A., Omholt, S.W., 2003. Social exploitation of vitellogenin. *Proceedings of the national academy of sciences* 100, 1799-1802.
- [2]. Amdam, G.V., Norberg, K., Page, R.E., Erber, J., Scheiner, R., 2006. Down regulation of vitellogenin gene activity increases the gustatory responsiveness of honeybee workers (*Apis mellifera*). *Behavioural brain research* 169, 201-205.
- [3]. Denslow, N.D., Chow, M.C., Kroll, K.J., Green, L., 1999. Vitellogenin as a biomarker of exposure for estrogen or estrogen mimics. *Ecotoxicology* 8, 385-398.
- [4]. Dunbar, S., 1994. *Protein Blotting, A practice approach*. Oxford university press, 242 p.
- [5]. Finn, R.N., 2007. Vertebrate yolk complexes and the functional implications of phosvitins and other sub domains in vitellogenins. *Biology of Reproduction* 76, 926-935.
- [6]. Guidugli, K.R., Nascimento, A.M., Amdam, G.V., Barchuk, A.R., Omholt, S., *et al.*, 2005. Vitellogenin regulates hormonal dynamics in the worker caste of a eusocial insect. *FEBS Letters* 579, 4961-4965.
- [7]. Hiramatsu, N., Matsubara, T., Weber, G., Sullivan, C., Hara, A., 2002a. Vitellogenesis in aquatic animals. *Fisheries science* 68, 694-699.
- [8]. Hiramatsu, N., Hiramatsu, K., Hirano, K., Hara, A., 2002b. Vitellogenin-derived yolk proteins in a hybrid sturgeon, bester (*Huso huso* × *Acipenser ruthenus*): identification, characterization and course of proteolysis during embryogenesis. *Comparative biochemistry and physiology part A* 131, 429-441.
- [9]. Hiramatsu, N., Matsubara, T., Fujita, T., Sullivan, C.V., Hara, A., 2006. Multiple piscine vitellogenins: biomarkers of fish exposure to estrogenic endocrine disruptors in aquatic environments. *Marine Biology* 149, 35-47.
- [10]. Laemmli, U.K., 1970. Cleavage of structural proteins during assembly of the head of bacteriophage T4. *Nature* 227, 680-685.
- [11]. Linares-Casenave, J., Kroll, K.J., Van Eenennaam, J.P., Doroshov, S.I., 2003. Effect of ovarian stage on plasma vitellogenin and calcium in cultured white sturgeon. *Aquaculture* 221, 645-656.
- [12]. Liu, Q.H., Zhang, S.C., Li, Z.J., Gao, C.R., 2009. Characterization of a pattern recognition molecule vitellogenin from carp (*Cyprinus carpio*). *Immunobiology* 214, 257-267
- [13]. Magalhaes, I., Ledrich, M.L., Pihan, J.C., Falla, J., 2004. One-step, non-denaturing purification method of carp (*Cyprinus carpio*) vitellogenin. *Journal of chromatography B* 799, 87-93.
- [14]. Manohar, D., Rao, G.D., Sreenivasulu, G., Senthilkumaran, B., Gupta, A.D., 2005. Purification of vitellogenin from the air breathing catfish, *Clarias gariepinus*. *Fish Physiology and Biochemistry* 31, 235-239
- [15]. Matozzo, V., Gagne, F., Marin, M.G., Ricciardi, F., Blaise, C., 2008. Vitellogenin as a biomarker of exposure to estrogenic compounds in aquatic invertebrates: a review. *Environment international* 34(4), 531-45.
- [16]. Mommsen, T.P., Walsh, P.J., 1988. Vitellogenesis and oocyte assembly. In: Hoar, W.S., Randall, D.J., Donaldson, E.M. (Eds.), *Fish Physiology*, Vol. 9A. Academic Press, New York, USA, pp. 347-406.
- [17]. Mylonas, C.C., Zohar, Y., 2007. Promoting oocyte maturation, ovulation and spawning in

- farmed fish. In: Babin, P.J., Cerda, J., Lubzens, E. (Eds.), The fish oocyte, from basic studies to biotechnological applications. Springer publication, pp. 437-475.
- [18]. Nakamura, A., Yasuda, K., Adachi, H., Sakurai, Y., Ishii, N., *et al.*, 1999. Vitellogenin is a major carbonylated protein in aged nematode, *Caenorhabditis elegans*. Biochemical and biophysical research communications 264(2), 580-583.
- [19]. Nelson, C.M., Ihle, K.E., Fondrk, M.K., Page, R.E., Amdam, G.V., 2007. The gene vitellogenin has multiple coordinating effects on social organization. Plos biology 5 (3), 673-677.
- [20]. Nishi, K., Chikae, M., Hatano, M., Mizukami, H., Yamashita, M., Sakakibara, R., Tamiya, E., 2002. Development and application of a monoclonal antibody-based sandwich ELISA for quantification of Japanese medaka (*Oryzias latipes*) vitellogenin. Comparative biochemistry and physiology part C 132, 161-169.
- [21]. Norberg, B., Haux, C., 1985. Induction, isolation and a characterization of the lipid content of plasma vitellogenin from two Salmo species: rainbow trout (*Salmo gairdneri*) and sea trout (*Salmo trutta*). Comparative biochemistry and physiology part B 81, 869-876.
- [22]. Parks, L.G., Cheek, A.O., Denslow, N.D., Heppell, S.A., McLachlan, J.A., LeBlanc, D.A. Sullivan, C.V., 1999. Fathead minnow (*Pimephales promelas*) vitellogenin: purification, characterization and quantitative immunoassay for the detection of estrogenic compounds. Comparative biochemistry and physiology part C 123, 113-125.
- [23]. Redshaw, M.R. Follett, B.K., 1971. The crystalline yolk-platelet proteins and their soluble plasma precursor in an amphibian, *Xenopus laevis*. Biochemical journal 124, 759-766.
- [24]. Shi, X.D., Zhang, S.C., Pang, Q.X., 2006. Vitellogenin is a novel player in defense reactions. Fish and shellfish immunology 20, 769-772.
- [25]. Silversand, C., Haux, C., 1995. Fatty acid composition of vitellogenin from four teleost species. Journal of comparative physiology B 164, 593-599.
- [26]. Specker, J.L., Sullivan, C.V., 1994. Vitellogenesis in fishes: status and perspectives. In: Davey, K.G., Peter, R.E., Tobe, S.S. (Eds.), Perspectives in endocrinology. National Research Council, Ottawa, Canada. pp. 304-315
- [27]. Tolar, J.F., Mehollin, A.R., Watson, R.D., Angus, R.A., 2001. Mosquito fish (*Gambusia affinis*) vitellogenin: identification, purification, and immunoassay. Comparative biochemistry and Physiology Part C 128, 237-245.
- [28]. Tufail, M., Takeda, M., 2008. Molecular characteristics of insect vitellogenins. Journal of insect physiology 54(12), 1447-1458.
- [29]. Wahli, W., 1988. Evolution and expression of vitellogenin genes. Trends genet 4(8), 227-232.
- [30]. Watts, M., Pankhurst, N.W., Pryce, A., Sun, B., 2003. Vitellogenin isolation, purification and antigenic cross-reactivity in three teleost species. Comparative biochemistry and Physiology Part B 134, 467-476.
- [31]. Wiley, H.S., Opresko, L., Wallace, R.A., 1979. New methods for the purification of vertebrate vitellogenin. Analytical biochemistry 97, 145-152.
- [32]. Zhang, Y., Qu, Q., Sun, D., Liu, X., Suo, L., Zhang, Y., 2011. Vitellogenin in Amur sturgeon (*Acipenser schrenckii*): induction, purification and changes during the reproductive cycle. Journal of applied ichthyology 27, 660-665.
- [33]. Zhang, S., Wang, S., Li, H., Li, L., 2011. Vitellogenin, a multivalent sensor and an antimicrobial effector. The international journal of biochemistry and cell biology 43(3), 303-305.